

Abb. 1
 Relatives thermisches
 Diagramm für W, Mo,
 Pt, Fe, Cu, Ag und Al.

Rekristallisationsdiagramm

nach Czochralski

(Schottki und Jungbluth, 1923)

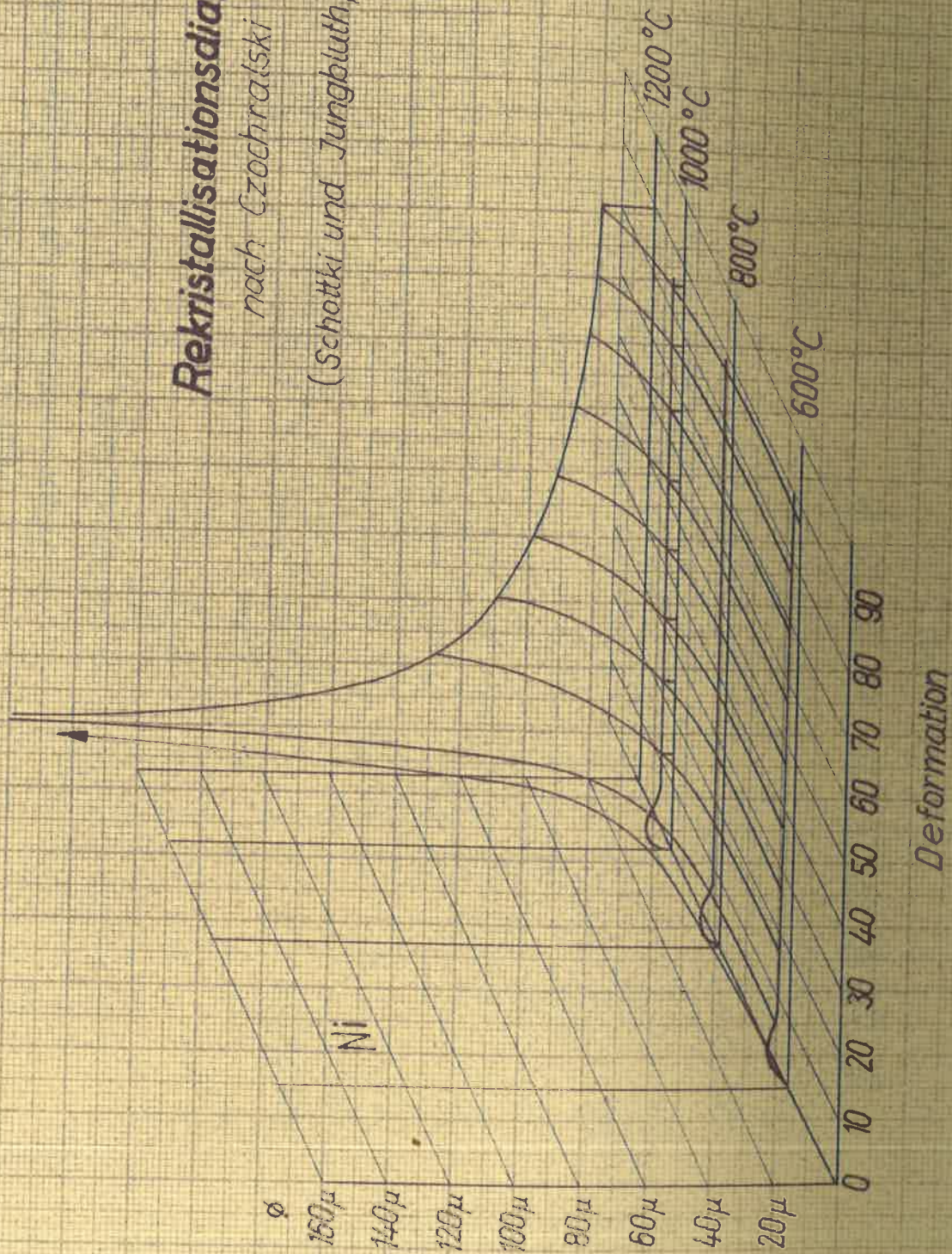


Abb. 2
(Abb. 10)

EK 1-126/2/54

Naturgegebenes Rekristallisationsdiagramm

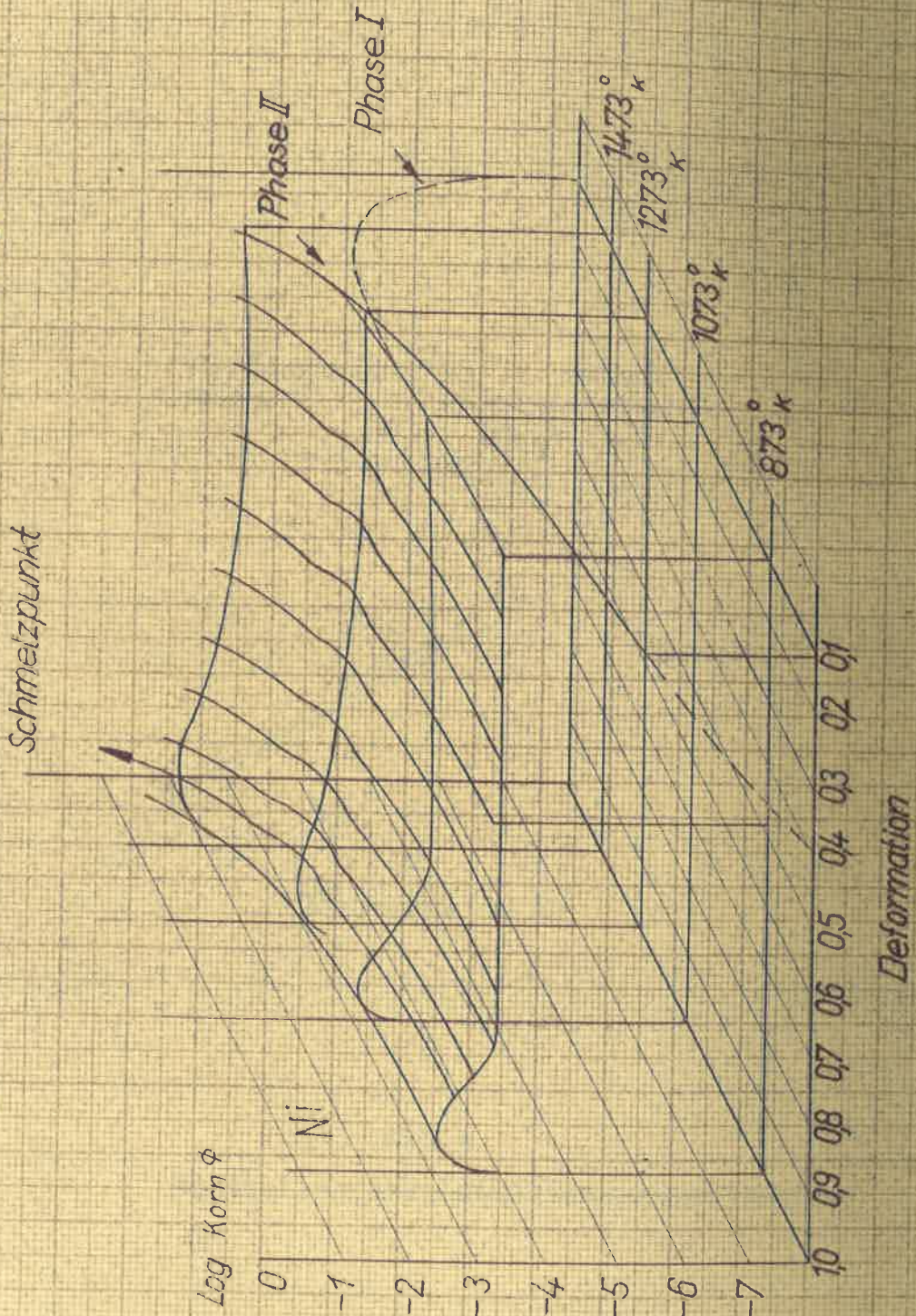
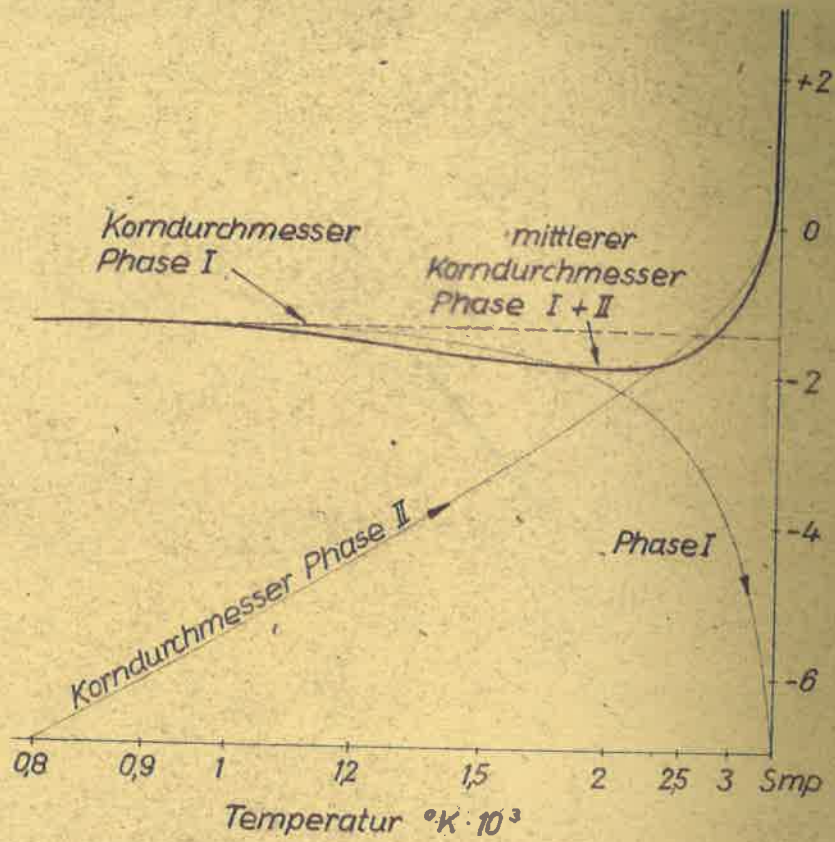


Abb. 3
(Abb. 11)

EK 1-126/1/54



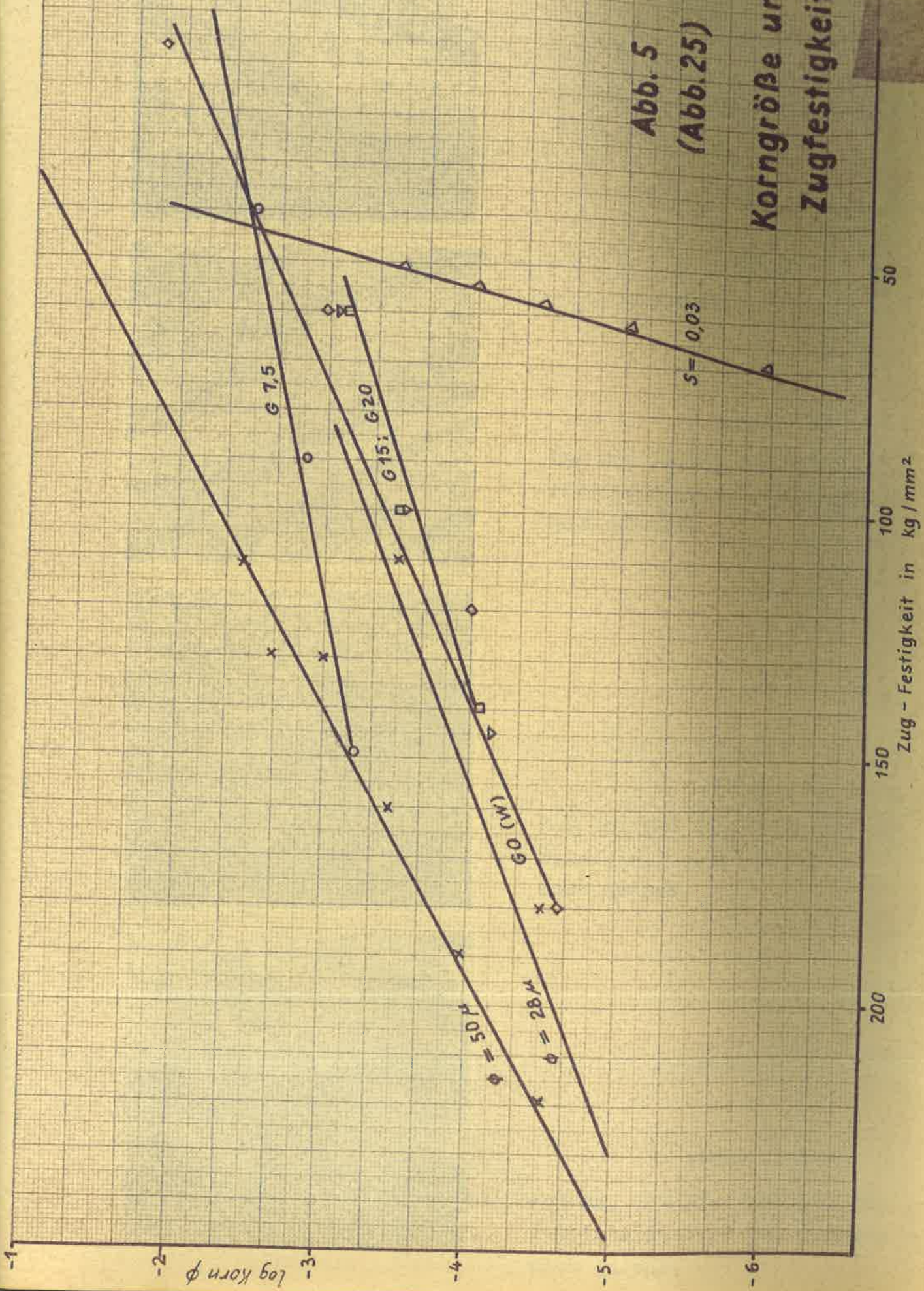
5kK1-120/206/53

Abb.4

Partielles Rekristallisierungsdiagramm

Korngröße und
 Zugfestigkeit

Abb. 5
 (Abb. 25)



φg. Korn φ



Abb.6 (350 x)
80% Cu, 20% Ni, Walzgrad 88%
rekristallisiert bei 460-480°
nach Adcock.



Abb.7 (350 x)
80% Cu, 20 Ni, Walzgrad 88%
rekristallisiert bei 490-500°
nach Adcock.

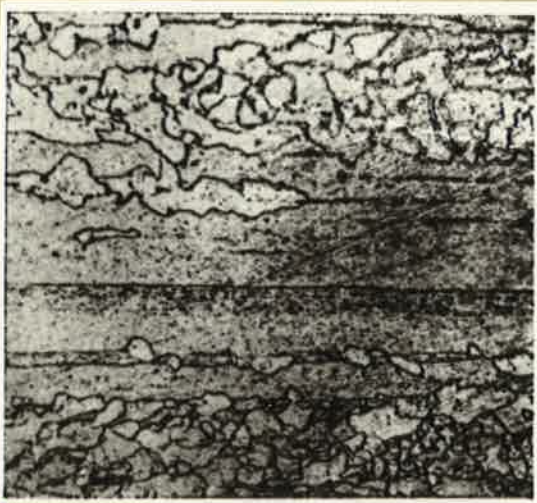


Abb.8 (350 x)
80% Cu, 20% Ni, Walzgrad 88%
rekristallisiert bei 520°
nach Adcock.

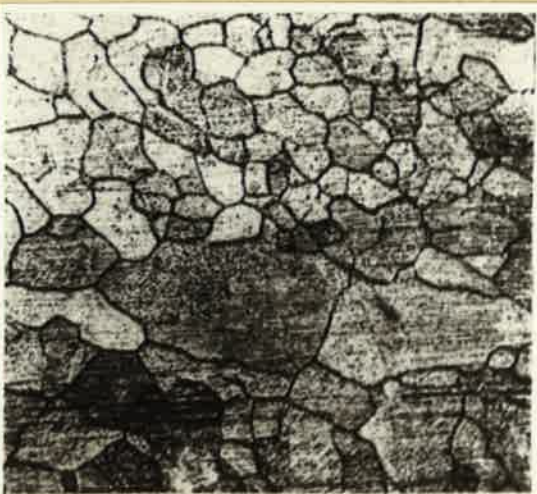


Abb.9 (350 x)
80% Cu, 20% Ni, Walzgrad 88%
rekristallisiert bei 630-640°
nach Adcock.



Abb. 10

Gerät zum Messen der Torsion
eines Drahtes